

Kerne und Teilchen

Physik VI

Vorlesung # 22 1.7.2010

Guido Drexlin, Institut für Experimentelle Kernphysik

Schwache Wechselwirkung

- ft-Werte & Matrixelemente
- V-A Wechselwirkung
- schwacher Isospin SU(2)
- schwache Hyperladung U(1)_Y
- elektroschwacheVereinheitlichung (WSG)



A MODEL OF LEPTONS*

Steven Weinberg†

Laboratory for Nuclear Science and Physics Department,
Massachusetts Institute of Technology, Cambridge, Massachusetts
(Received 17 October 1967)

only with photons, and with sons that presumably meons. What could be more these spin-one bosons

and on a right-handed singlet

 $R \equiv \left[\frac{1}{2}(1-\gamma_5)\right]e.$

SUSY, schwache Wechselwirkung



Supermultiplette:

Gruppierung von SM-Teilchen & Superpartnern
 skalare (Quarks/Squarks, Leptonen/Sleptonen)
 vektorielle (Eichbosonen/Gauginos)



R-Parität

- R_P = (-1)^{3B+L+2S} garantiert Stabilität des LSP (leichtestes SUSY-Teilchen)
- LSP: Gravitino, Neutralino als Kandidaten der kalten dunklen Materie

Klassifikation von Prozessen der schwachen Wechselwirkung:

- rein leptonisch: ν-e Streuung über CC und NC Reaktionen, μ-Zerfall

- semileptonisch: n-Zerfall, strangeness-Änderung: $|\Delta S| = |\Delta Q|$

- rein hadronisch: $K^{-} \rightarrow \pi^{-} + \pi^{0}$

Fermi-Kopplungskonstante G_F

$$\frac{G_F}{(\hbar c)^3} = 1.16637 \times 10^{-5} \, \text{GeV}^{-2} = 8.96 \times 10^{-5} \, \text{MeV fm}^{-3}$$

schwache Wechselwirkung



dimensionsbehaftetes G_F & schwache Kopplung g_W

- Fermi-Theorie nur bei kleinem q² effektive Theorie der schwachen Ww.
- Propagator $\sim 1/(q^2 M_W^2) \rightarrow 1/M_W^2$

$$\frac{G_F}{(\hbar c)^3} = \frac{\sqrt{2}}{8} \cdot \frac{g_w^2}{M_W^2}$$

■ Fermi-Übergang

- Leptonenspins antiparallel (s = 0), Impulse gleichgerichtet
- vektorieller Charakter, Kopplung gv

Gamow-Teller-Übergang

- Leptonenspins parallel (s = 1), Impulse gegengerichtet
- axial-vektorieller Charakter, Kopplung g

Dirac-Gleichung mit γ-Matrizen

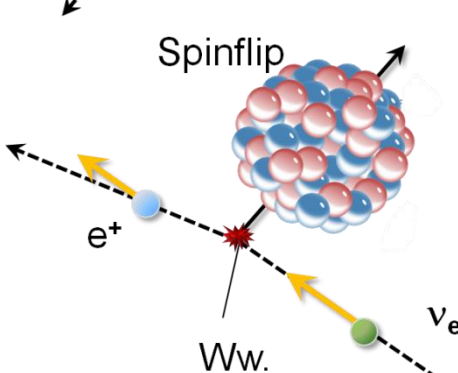
$$\gamma^0 = \begin{pmatrix} I & 0 \\ 0 & -I \end{pmatrix}$$

$$\begin{vmatrix} 0 \\ -I \end{vmatrix} \begin{vmatrix} \vec{\gamma} = \begin{pmatrix} 0 & \vec{\sigma} \\ -\vec{\sigma} & 0 \end{vmatrix} \begin{vmatrix} \gamma^5 = \begin{pmatrix} 0 & I \\ I & 0 \end{vmatrix} \begin{vmatrix} \gamma^5 = i \gamma^0 \gamma^1 \gamma^2 \gamma^3 \\ 4 \times 4 \text{ Matrizen mit speziellen} \end{vmatrix}$$

$$\gamma^5 = \begin{pmatrix} 0 & I \\ I & 0 \end{pmatrix}$$

$$\gamma^5 = i \gamma^0 \gamma^1 \gamma^2 \gamma^3$$

Antikommutator-Eigenschaften



ft-Werte und Kernmatrixelement M



ß-Zerfall:

- Form des ß-Spektrums ist gegeben durch Fermi's Goldene Regel und die Phasenraumdichte dN/dE₀, (vgl. Kap. 4.3)

$$N(p) dp \sim G^2 \cdot |M|^2 \cdot p^2 \cdot (E - E_0)^2 dp$$

M: Kernmatrixelement, enthält Information über Kernstruktur

- Gesamtrate λ ergibt sich aus der Integration über die Impulse p

$$\lambda = \int_0^{p_{\text{max}}} N(p) dp \sim m_e^5 \cdot c^4 \cdot G \cdot |M|^2 \cdot f(Z, E_0)$$
 f(Z, E₀): Phasenraum funktion über numerische Integration

- **ft-Wert** bzw. log(ft)-Wert:
 - das Produkt f·t_{1/2} variiert von 10³ 10²² s, daher oft log(ft)-Wert
 - ft-Wert ist direktes Mass für die Größe des Kernmatrixelements M

$$ft = t_{1/2} \cdot f(Z, E_0) = \ln 2 \cdot \frac{2\pi^3 \hbar^7}{m_e^5 c^4} \cdot \frac{1}{G} \cdot \frac{1}{|M|^2}$$
 log (f): Berechnung & E₀ log (t): Experiment

Klassifikation von ß-Zerfällen



■ Klassifikation von ß-Zerfällen über log(ft)-Wert:

- kleine log(ft)-Werte: großer Überlapp der Kernwellenfunktionen $\Psi_{i}(r)$ und $\Psi_{f}(r)$, \diamondsuit schneller Kern-ß-Zerfall
- große log(ft)-Werte von : kleiner Überlapp, großes t_{1/2} , Bahndrehimpuls &
- Leptonen: ebene Wellen mit $\Psi(x) \sim e^{ipx/\hbar} = 1 + ipx/\hbar + ...$ Entwicklung nach Bahndrehimpuls $\ell = r \times p$, $\Delta \ell = 1$ reduziert λ um $\sim 10^3 - 10^4$
- übererlaubt, erlaubt: $^3H \rightarrow ^3H + e^- + \overline{\nu}_e$, $^{14}C \rightarrow ^{14}N + e^- + \overline{\nu}_e$



Fermi: $\Delta J = 0$, ΔP - nein, GT: $\Delta J = 0.1$ ΔP - nein

Kernmatrixelement ist energieunabhängig

Bereich: log(ft) < 6

- mehrfach verboten:



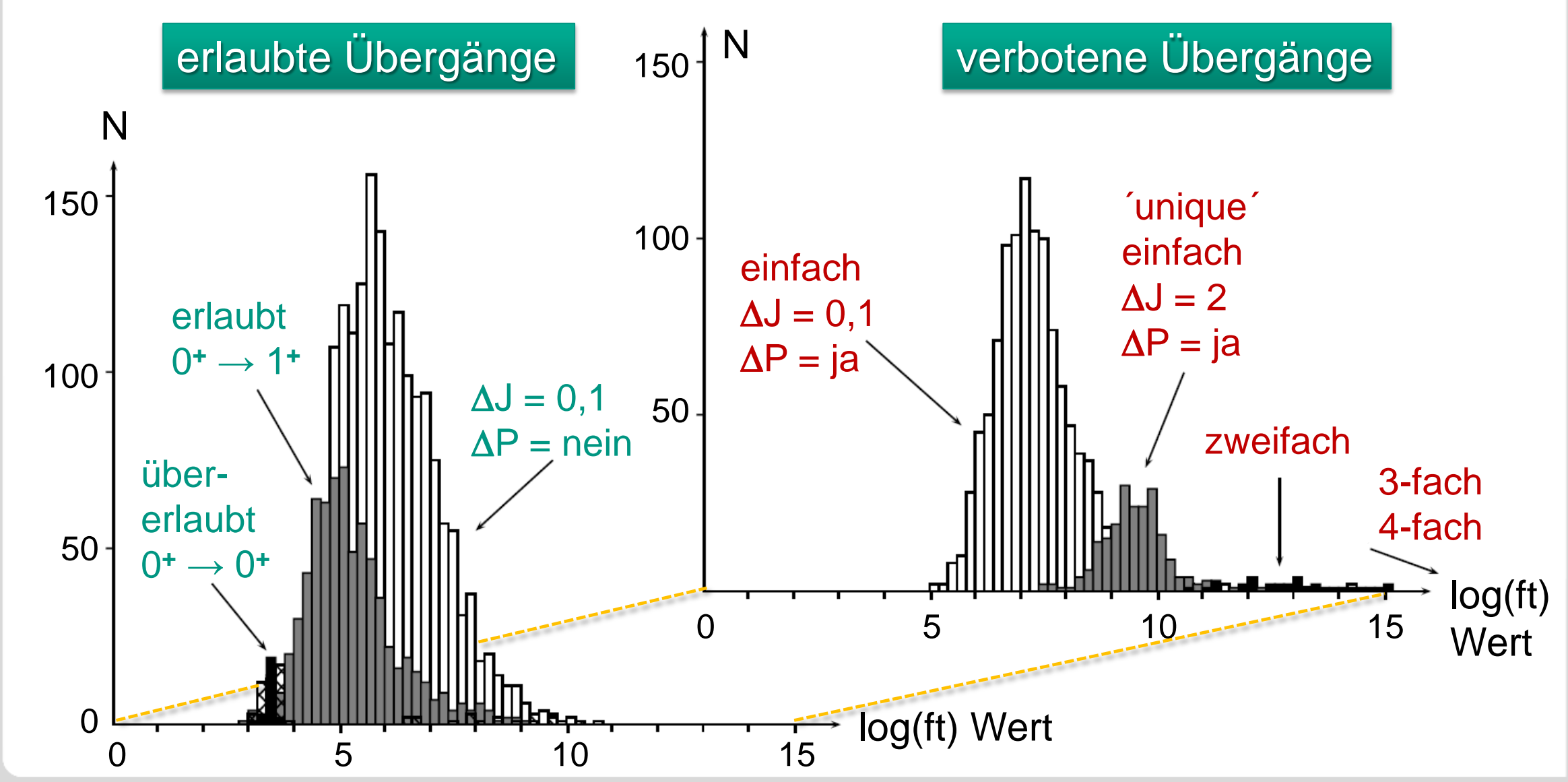
¹¹⁵In \rightarrow ¹¹⁵Sn + e⁻ + $\bar{\nu}_e$ </sup> (9/2+ \rightarrow 1/2+, $\Delta \ell$ = 4, log(ft) = 23) $\Delta J = \pm 1$, ± 2 , ± 3 , ± 4 (Drehimpuls ℓ wird fortgetragen)

Kernmatrixelement ist stark energieabhängig man spricht von \(\extstyle \)—fach verbotenen Übergängen

ft-Werte und erlaubte/verbotene Übergänge



■ **ß-Zerfall**: Verteilung der log(ft)-Werte von ~3900 ß-Zerfällen & Einteilung in erlaubte & verbotene Übergänge



Kernmatrixelemente M_F und M_{GT}



M für gemischte ß-Zerfälle:

- die Partialbreiten $\Gamma_{\rm F}$ und $\Gamma_{\rm GT}$ der Kanäle addieren sich, damit

$$|M|^2 = g_V^2 \cdot |M_F|^2 + g_A^2 \cdot |M_{GT}|^2 = g_V^2 \cdot \left[|M_F|^2 + \frac{g_A^2}{g_V^2} \cdot |M_{GT}|^2 \right]$$

M_F und M_{GT} für Neutron-ß-Zerfall:

- beim Neutronenzerfall $n \rightarrow p + e^- + \overline{\nu}_e$ (½+ \rightarrow ½+) tragen sowohl Fermi- wie auch Gamow-Übergänge bei
- Übergang in einem Isospin-Dublett: identische Wellenfunktionen $\Psi_n = \Psi_p$

Fermi-Matrixelement

- Einheits-Operator 1

$$\left| M_F \right|^2 = \left| \int \psi_p^* \ 1 \ \psi_n \ dV \right|^2 = 1$$

GT-Matrixelement

- Pauli-Spin-Operator $\vec{\sigma}$ $mit \langle \overrightarrow{\sigma}^2 \rangle = 3$

$$\left| M_{GT} \right|^2 = \left| \int \psi_p^* \ \vec{\sigma} \ \psi_n \ dV \right|^2 = 3$$

Axiale (g_A) und vektorielle (g_V) Kopplung



Bestimmung von g_V und g_A:

- Vektorkopplung g_V: über reinen Fermi-Übergang (g_V ≈ G_F)
- axiale Kopplung g_A: über den Neutron-Zerfall

$$\frac{g_A^2}{g_V^2} = 1.59 \implies \frac{g_A}{g_V} = -1.2695 \pm 0.0029$$

g_A/g_V aus aktuellen experimentellen Werten

■ Schwache Wechselwirkung mit g_V und g_A:

Nukleonen sind von Wolken virtueller Pionen umgeben ($n \rightarrow p + \pi^{-}$) Fermi-Matrixelement:

- schwacher Vektorstrom der Hadronen ist erhalten
- elektr. Ladung (Vektorstrom) wird durch starke Ww. nicht modifiziert
- CVC: Conserved Vector Current (Isospinsymmetrie)

GT-Matrixelement:

- axialer Strom der Hadronen ist nur teilweise erhalten, QCD Effekte!
- PCAC: Partically Conserved Axialvector Current

9.2 V-A Wechselwirkung (Paritätsverletzung)



■ Fermi's Ansatz mit vektorieller Kopplung g_V:

in enger Analogie zur elektromagnetischen Wechselwirkung beschreibt
 E. Fermi die schwache Wechselwirkung mit einem vektoriellen
 Operator γ^μ, der die

$$H_{w} = G \cdot (\overline{\Psi}_{p} \gamma^{\mu} \Psi_{n}) \cdot (\overline{\Psi}_{e} \gamma^{\mu} \Psi_{v})$$

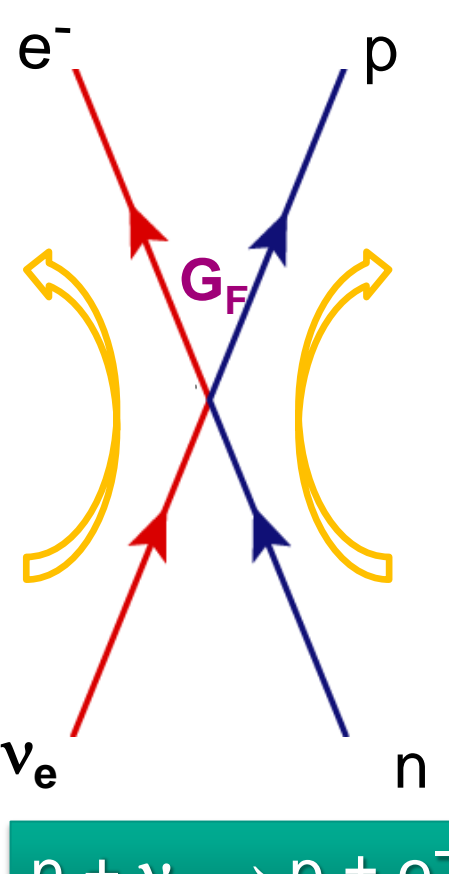
- skalare Größe: 🤝 Fermi-Ansatz ist paritätserhaltend

Strom-Strom Kopplung:

Kopplung eines leptonischen Stroms J_{lept}
 mit einem hadronischen Strom J_{hadr}

$$H_{w} = \frac{G}{\sqrt{2}} \cdot J_{\mu}^{+}(x) \cdot J^{\mu}(x)$$

- mit $J_u = J_u$ (leptonisch) + J_u (hadronisch)



V – A Kopplung



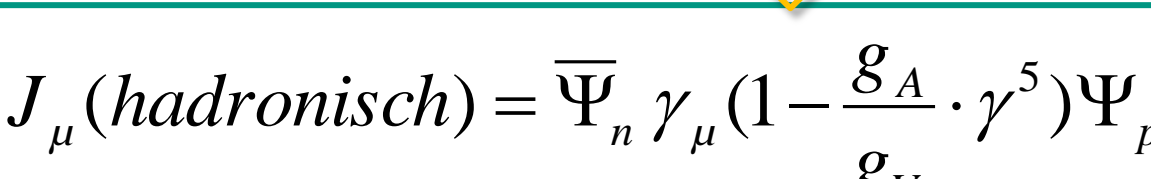
■ V –A Wechselwirkung in den Strömen:

- R.P. Feynman & M. Gell-Mann erweitern den vektoriellen Fermi-Ansatz um axialvektorielle Ströme

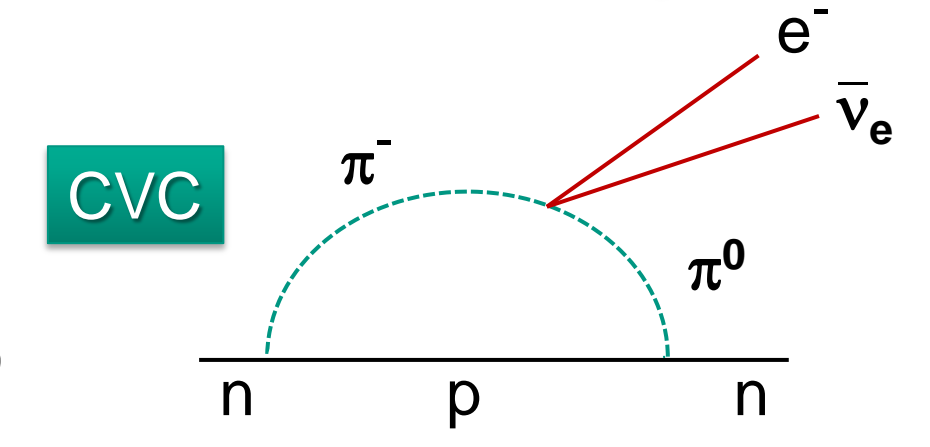
V-A Wechselwirkung

$$J_{\mu}(leptonisch) = \overline{\Psi}_{e} \gamma_{\mu} (1 - \gamma^{5}) \Psi_{\nu}$$





- $J_{\mu}(hadronisch) = \overline{\Psi}_{n} \gamma_{\mu} (1 \frac{g_{A}}{2} \cdot \gamma^{5}) \Psi_{p}$
- Hadronischer Strom (CVC & PCAC):
 - im hadronischen Stromanteil sind die axialen Anteile g_A durch QCD-Effekte nur teilweise erhalten ($g_A/g_V = 1.25$)



V – A Wechselwirkung & Chiralität



- paritätsverletzende Kopplung der V A Wechselwirkung
 - Helizität: Kopplung nur an LH Fermionen bzw. RH Anti-Fermionen, (folgt aus Messung der Longitudinal-Polarisation von e+, e⁻)
- Chirale Kopplung der V A Wechselwirkung

intermediäre Vektorbosonen W[±] koppeln nur an LH Fermionen / LH Anti-Fermionen

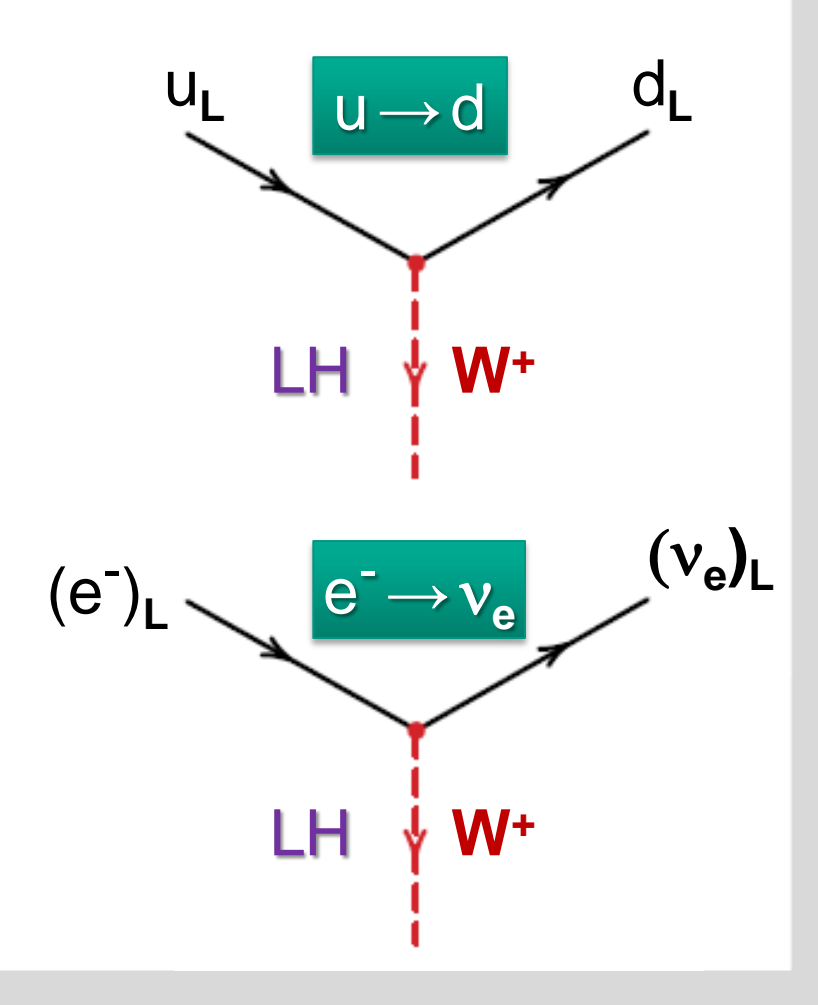
$$j^{\mu} \propto \overline{u} \ \gamma^{\mu} (1 - \gamma^5) u$$
Chiraler

Projektions-Operator $\frac{1}{2} \cdot (1 - \gamma^5)$

$$\Psi_{R} = \frac{1}{2} \cdot (1 + \gamma^{5}) \text{ u}$$

$$\overline{\Psi}_{I} = \overline{u} \cdot \frac{1}{2} \cdot (1 - \gamma^{5})$$

chiral RH Fermion chiral LH Fermion



Chiralität und Helizität



Chiralität und Helizität:

12

oft verwechselt durch simultane Benutzung des Begriffs Händigkeit (LH/RH):

	Chiralität	Helizität
relevante physikalische Größe	schwache Ladung $g_w(e_L) = -\frac{1}{2}$, $g_w(e_R) = 0$	Projektion des Spin s auf Impulsrichtung p
Operator	Spinor $\Psi_{L,R} = \frac{1}{2} \cdot (1 \pm \gamma^5)$	$h = \frac{1}{2} \cdot (1 \pm \overrightarrow{\mathbf{s}} \cdot \overrightarrow{\mathbf{p}} / \overrightarrow{\mathbf{p}})$
Interpretation LH/RH	nur ein 'Label'	entspricht einem Drehsinn
Lorentz-Invarianz	ja (γ ⁵ ist pseudoskalar)	nein (pklappt um, snicht)
wirkt auf	Spinor-Raum	s, p (physikalischer Raum)
Paritätstransformation	$LH \leftrightarrow RH$	$LH \leftrightarrow RH$

- massebehaftete Teilchen: Helizität ≠ Chiralität
- nur identisch bei masselosen Teilchen

$$\frac{\vec{s} \cdot \vec{p}}{|\vec{p}|} \stackrel{v \to c}{\to} \gamma^5$$

Schwacher Isospin



Schwache Isospin SU(2)- Dubletts & Singuletts:

- die (chiral) linkshändigen Fermionen werden zu Dubletts bzgl. des **schwachen Isospins T** zusammengefasst (mit $T = \frac{1}{2}$)
- die (chiral) rechtshändigen Fermionen sind Singuletts bzgl. SU(2)

$$\begin{pmatrix} v_e \\ e^- \end{pmatrix}_L \qquad \begin{pmatrix} v_\mu \\ \mu^- \end{pmatrix}_L \qquad \begin{pmatrix} v_\tau \\ \tau^- \end{pmatrix}_L$$

$$\begin{pmatrix} u \\ d' \end{pmatrix}_L \qquad \begin{pmatrix} c \\ s' \end{pmatrix}_L \qquad \begin{pmatrix} t \\ b' \end{pmatrix}_L$$

schwache Isospindubletts

$$(e^{-})_{R} (\mu^{-})_{R} (\tau^{-})_{R}$$

$$(u)_{R} (c)_{R} (t)_{R} (d)_{R} (s)_{R} (b)_{R}$$

schwache Isospinsinguletts $(T = T_3 = 0)$

$$\left(e^{-}\right)_{R} = \frac{1}{2}(1+\gamma^{5})e$$

Schwacher Isospin T:

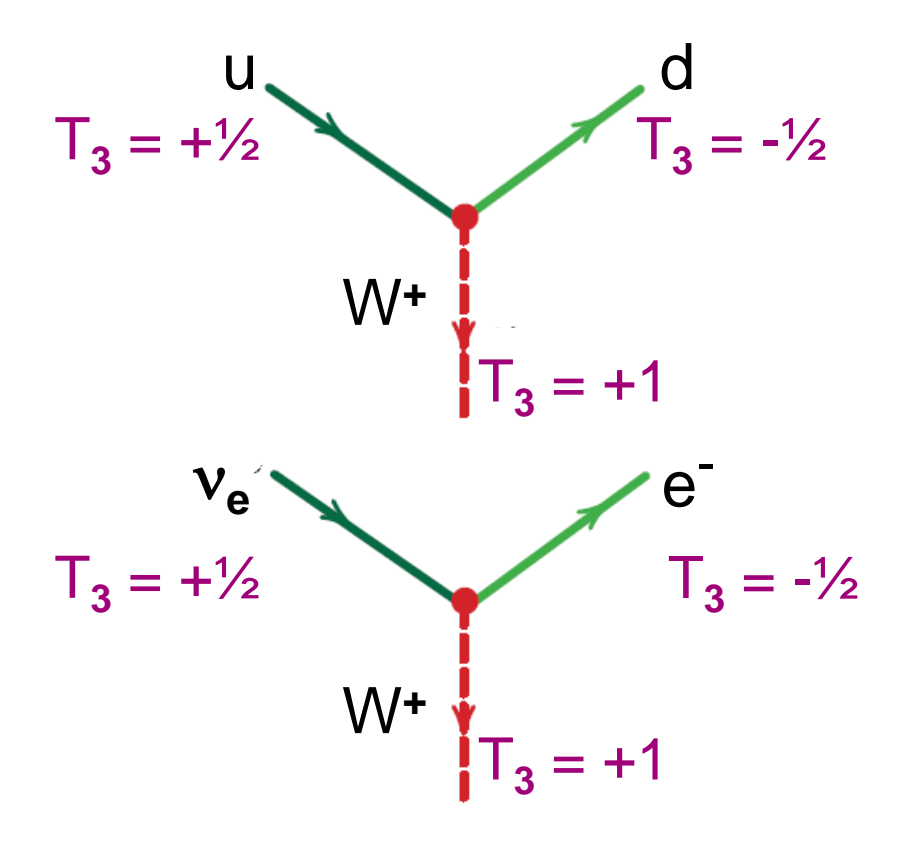
- bei einer Reaktion (v_e , e^-): Leptonen verbleiben im gleichen Dublett $\$ Zuordnung 3. Isospinkomponente $T_3(\nu_e, \nu_\mu, \nu_\tau) = +\frac{1}{2}$ $T_3(e^-, \mu^-, \tau^-) = -\frac{1}{2}$

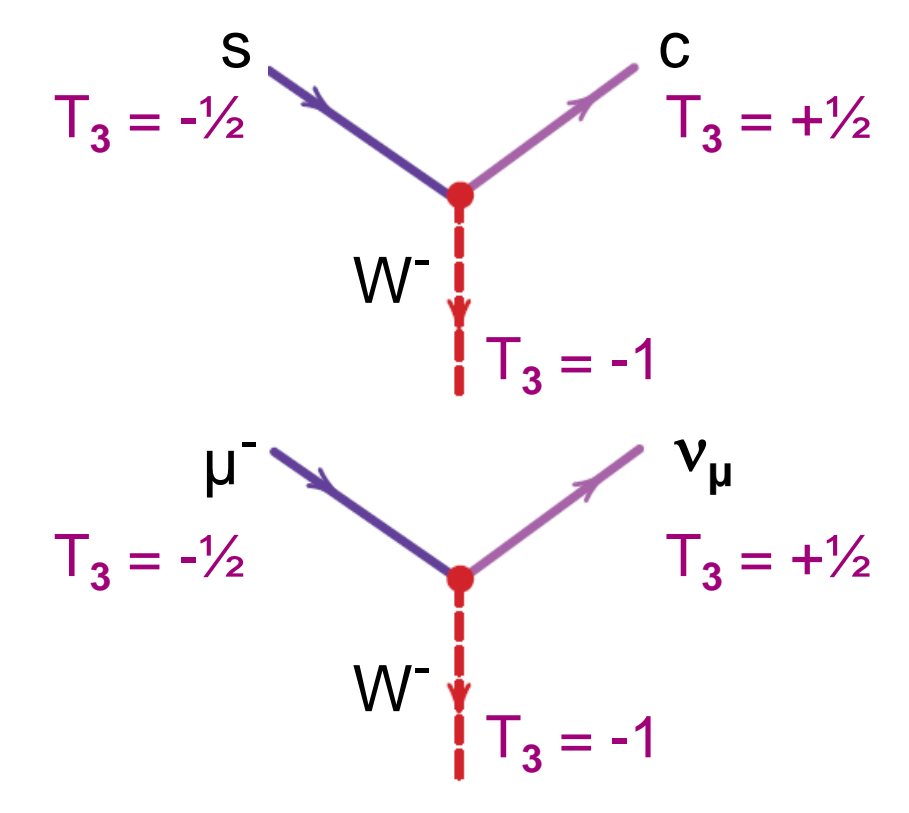
13

Schwacher Isospin



- Schwacher Isospin T & schwache Hyperladung Y_w:
 - ein Quark (u,c,t) mit $T_3 = +\frac{1}{2}$ transformiert immer in ein Quark mit $T_3 = -\frac{1}{2}$
 - geladene W-Bosonen tragen schwachen Isospin T = 1 (Triplett) Emission W+ Boson: $T_3 = +1$, W- Boson: $T_3 = -1$, (W0 Boson: $T_3 = 0$) W0 ist nicht mit dem Z^0 identisch!





Schwache Hyperladung



 S. L. Glashow: Einführung der schwachen Hyperladung Y_w entsprechend der Gell-Mann/Nishijima Gleichung bei der starken Ww.

$$Q = T_3 + Y_W/2$$

$$Y_{\mathbf{W}} = 2 \left(Q - T_3 \right)$$



Lagrange-Dichte L_w der schwachen Wechselwirkung:

$$L_{w} = g_{w} \cdot (J_{\mu}^{+} \cdot W^{\mu} + J^{\mu} W_{\mu}^{+})$$

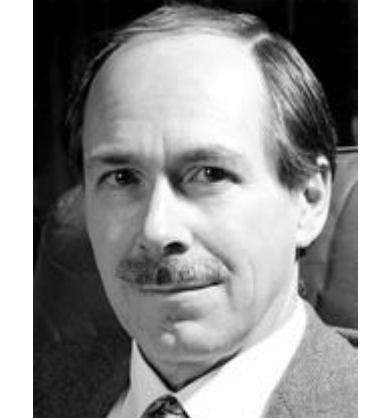
'nur' W-Bosonen (was ist W⁰?)

Einführung von 'massiven' Vektorbosonen nicht ausreichend zu Vermeidung von Divergenzen im Wirkungsquerschnitt

S.L. Glashow, S. Weinberg, A. Salam: Entwicklung einer Eichtheorie der elektroschwachen Wechselwirkung SU(2) × U(1) mit CC und NC

P. Higgs: Eichsymmetrie ist durch ein skalares Feld spontan gebrochen

G. 'Hooft, M. Veltman: Eichsymmetrie ist renormierbar



Gerardus 't Hooft



Martinus J.G. Veltman

Nobelpreis 1999

"for elucidating the quantum structure of electroweak interactions in physics"

16



elektroschwache Eichsymmetrie: schwacher Isospin T & Hyperladung Yw vier Spin 1 – Vektorbosonen \vec{W}_{u} , B_{u} (Basiszustände des schwachen Isospins)

$$\vec{W}_{\mu} = (W_{\mu}^1, W_{\mu}^2, W_{\mu}^3)$$
 Triplett im T-Raum

Definition: Singulett im T-Raum

die reellen Vektorbosonen W[±] ergeben sich aus Kombination:

$$W_{\mu}^{\pm} = \frac{1}{\sqrt{2}} \cdot (W_{\mu}^{1} \pm i W_{\mu}^{2})$$

Brechung der Eichsymmetrie durch 2 komplexe skalare Felder $\Phi(x)$ Eigenschaften: schwache Hyperladung $Y_w = +1$, Ladung Q = 0, Spin s = 0

$$\Phi = \begin{pmatrix} \Phi^+ \\ \Phi^0 \end{pmatrix}$$

3 Eichfelder erhalten $\Phi = \begin{pmatrix} \Phi^+ \\ \Phi^0 \end{pmatrix}$ | 3 Eichfelder erhalter Masse, 1 massives Higgs-Boson verbleibt

$$\left\langle \Phi \right\rangle_0 = \frac{1}{\sqrt{2}} \cdot \begin{pmatrix} 0 \\ w \end{pmatrix}$$

wert Higgs



Nopplung der Vektorbosonen W_{μ} , B_{μ} an den schwachen Isospinstrom \overrightarrow{J}_{μ} und den Strom der schwachen Hyperladung $\overrightarrow{J}_{\mu}^{Y}$ elektroschwache Ww.

$$L_{W} = g \cdot \sum_{a=1}^{3} J_{\mu}^{a} \cdot W^{a\mu} + g' \cdot J_{\mu}^{Y} \cdot B^{\mu}$$





Isotriplett W_µ koppelt an schwachen Isospin mit Stärke **g** Isosingulett B_µ koppelt an schwache Hyperladung mit Stärke g´



$$A_{\mu} = \sin \theta_{W} \cdot W_{\mu}^{3} + \cos \theta_{W} \cdot B_{\mu}$$

$$Z_{\mu} = \cos \theta_{W} \cdot W_{\mu}^{3} - \sin \theta_{W} \cdot B_{\mu}$$

Mischung der neutralen Felder zum Photon und Z⁰-Boson Mischung von SU(2) und U(1)



Photon γ und Z⁰-Boson sind 2 orthogonale Zustände und lassen sich als Linearkombination der Eichfelder B⁰ (B_u) und W⁰ (W_u) darstellen:

$$|\gamma\rangle = \frac{g \cdot |B^0\rangle + g \cdot |W^0\rangle}{\sqrt{g^2 + (g')^2}}$$

$$\left|\gamma\right\rangle = \frac{g\cdot\left|B^{0}\right\rangle + g'\cdot\left|W^{0}\right\rangle}{\sqrt{g^{2} + (g')^{2}}} \qquad \left|Z^{0}\right\rangle = \frac{g\cdot\left|W^{0}\right\rangle - g'\cdot\left|B^{0}\right\rangle}{\sqrt{g^{2} + (g')^{2}}}$$

- Weinbergwinkel θ_{w} :
 - der elektroschwache Mischungswinkel θ_{w} (Weinbergwinkel) ist der zentrale Parameter des Weinberg-Salam-Glashow-Modells
 - beschreibt die **Drehung der Eigenzustände** des schwachen Isospins B^0 , W^0 relativ zu den reellen Vektorbosonen γ und Z^0

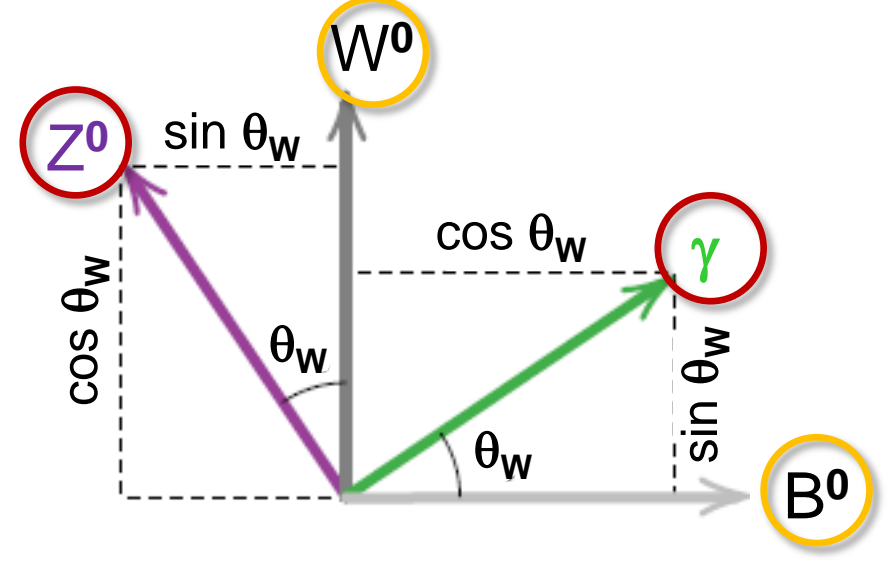
$$\sin \theta_W = \frac{g'}{\sqrt{g^2 + (g')^2}} \qquad \tan \theta_W = \frac{g'}{g}$$

$$\tan \theta_W = \frac{g'}{g}$$

19



■ Darstellung als Drehung um θ_{W} im schwachen Isospinraum:



- Weinbergwinkel θ_w:
 - misst die Stärke der elektromagnet. relativ zur schwachen Wechselwirkung

$$e = g \cdot \sin \theta_{\mathbf{W}}$$

 experimenteller Wert aus der ν-e Streuung, der elektroschwachen Interferenz bei e+e⁻ Streuung, Z⁰ - Breite

$$\sin^2 \theta_W = 0.2325 \pm 0.0008$$



- \blacksquare schwache Kopplungskonstante $\alpha_{W} \sim g \cdot g$ ist etwa 4 x stärker als die elektromagnetische Kopplung $\alpha_{em} \sim e \cdot e$, nur der Propagatorterm führt zur geringen effektiven Stärke
- Massenverhältnisse der Vektorbosonen:

$$\frac{M_W}{M_{Z^0}} = \cos \theta_W$$

$$\frac{M_W}{M_{Z^0}} = \cos \theta_W$$

$$M_W = \left(\frac{e^2 \cdot \sqrt{2}}{8G_F}\right)^{1/2} \cdot \frac{1}{\sin \theta_W} = \frac{37.4}{\sin \theta_W} GeV$$

- Struktur der schwachen Ströme (Teil I):
 - geladene Ströme: W-Bosonen koppeln an alle chiral linkshändigen Quarks und Leptonen mit der gleichen Stärke (Universalität)
 - neutrale Ströme: komplexere Struktur durch Mischung mit der elektromagnetischen Wechselwirkung, Ankopplung auch an chiral rechtshändige Quarks und Leptonen möglich